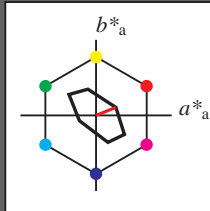


Eingabe: Farbmetrisches Fernseh-Licht-System TLS70

für Buntton $h^* = lab^*h = 22/360 = 0.061$
 lab^*ich und lab^*nch

D65: Buntton O
LCH*Ma: 76 28 22
olv*Ma: 1.0 0.0 0.0

Dreiecks-Helligkeit t^*



%Umfang
 $u^*_{rel} = 16$
%Regularität
 $g^*_{H,rel} = 34$
 $g^*_{C,rel} = 51$

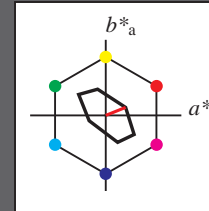
TLS70; adaptierte CIELAB-Daten					
	$L^*=L^*_a$	a^*_a	b^*_a	$C^*_{ab,a}$	$h^*_{ab,a}$
O _{Ma}	76.43	26.27	10.57	28.32	22
Y _{Ma}	93.93	-10.76	34.63	36.27	107
L _{Ma}	89.32	-35.8	27.64	45.24	142
C _{Ma}	90.93	-21.95	-7.07	23.07	198
V _{Ma}	72.1	15.76	-35.63	38.97	294
M _{Ma}	78.5	37.52	-25.23	45.22	326
N _{Ma}	69.7	0.0	0.0	0.0	0
W _{Ma}	95.41	0.0	0.0	0.0	0
R _{CIE}	39.92	58.74	27.99	65.07	25
J _{CIE}	81.26	-2.88	71.56	71.62	92
G _{CIE}	52.23	-42.41	13.6	44.55	162
B _{CIE}	30.57	1.41	-46.46	46.49	272

Ausgabe: Farbmetrisches Fernseh-Licht-System TLS70

für Buntton $h^* = lab^*h = 22/360 = 0.061$
 lab^*ich und lab^*nch

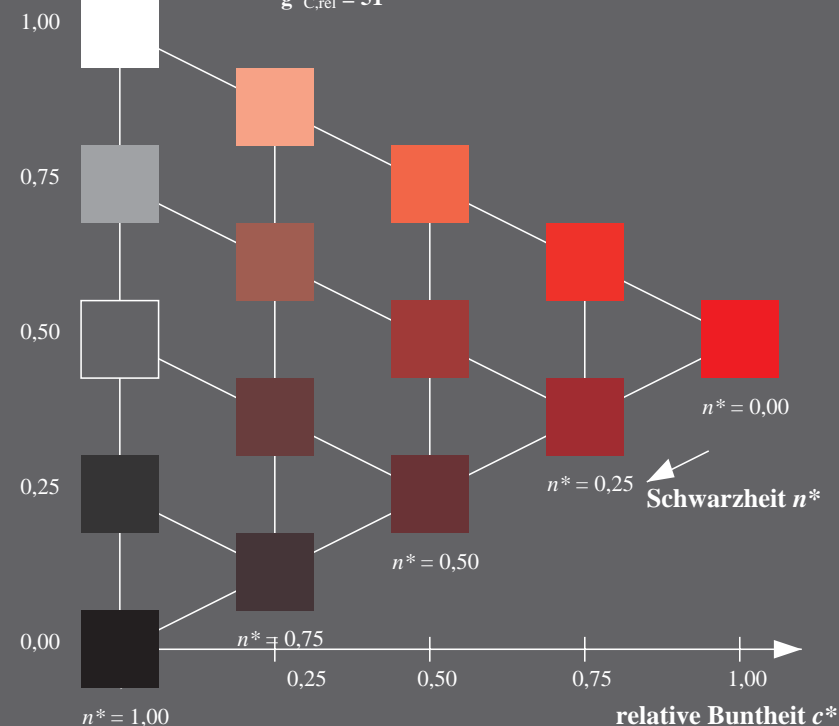
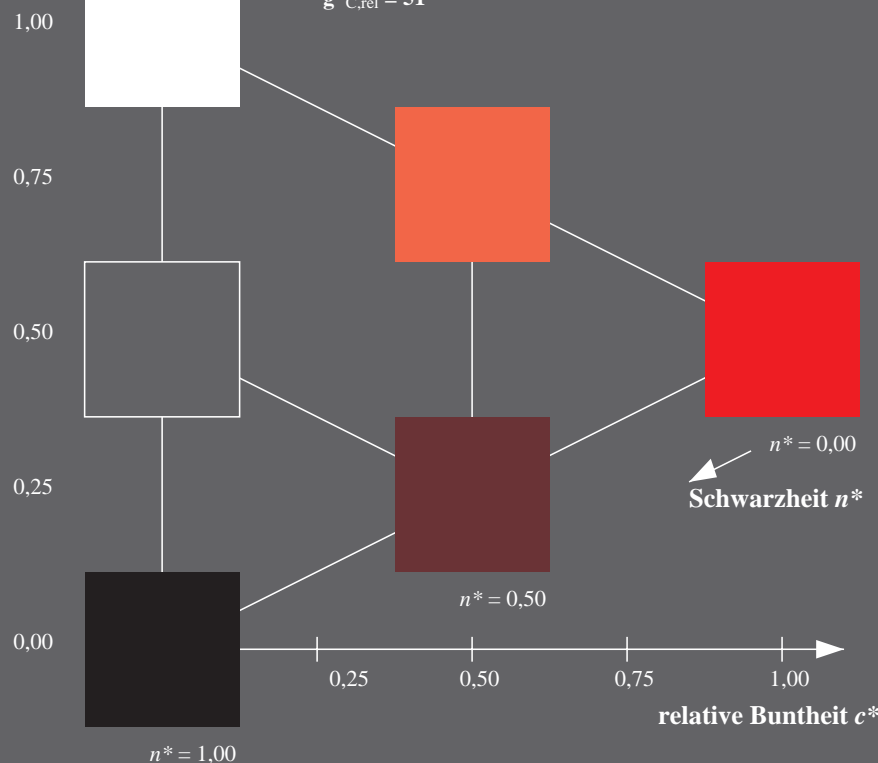
D65: Buntton O
LCH*Ma: 76 28 22
olv*Ma: 1.0 0.0 0.0

Dreiecks-Helligkeit t^*



%Umfang
 $u^*_{rel} = 16$
%Regularität
 $g^*_{H,rel} = 34$
 $g^*_{C,rel} = 51$

TLS70; adaptierte CIELAB-Daten					
	$L^*=L^*_a$	a^*_a	b^*_a	$C^*_{ab,a}$	$h^*_{ab,a}$
O _{Ma}	76.43	26.27	10.57	28.32	22
Y _{Ma}	93.93	-10.76	34.63	36.27	107
L _{Ma}	89.32	-35.8	27.64	45.24	142
C _{Ma}	90.93	-21.95	-7.07	23.07	198
V _{Ma}	72.1	15.76	-35.63	38.97	294
M _{Ma}	78.5	37.52	-25.23	45.22	326
N _{Ma}	69.7	0.0	0.0	0.0	0
W _{Ma}	95.41	0.0	0.0	0.0	0
R _{CIE}	39.92	58.74	27.99	65.07	25
J _{CIE}	81.26	-2.88	71.56	71.62	92
G _{CIE}	52.23	-42.41	13.6	44.55	162
B _{CIE}	30.57	1.41	-46.46	46.49	272



OG690-7, 3stufige Reihen für konstanten CIELAB Buntton 22/360 = 0.061 (links)

5stufige Reihen für konstanten CIELAB Buntton 22/360 = 0.061 (rechts)

BAM-Prüfvorlage OG69; Farbmetrik-Systeme TLS70 & TLS70 input: $cmY0^*setcmykcolor$
D65: 3 und 5stufige Farbreihen für 10 Bunttöne

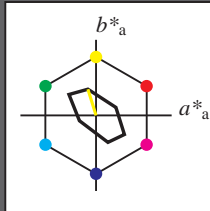
output: $cmY0^*/000n^*setcmykcolor$

Eingabe: Farbmétrisches Fernseh-Licht-System TLS70

für Buntton $h^* = lab^*h = 107/360 = 0.298$
 lab^*ich und lab^*nch

D65: Buntton Y
LCH*Ma: 94 36 107
olv*Ma: 1.0 1.0 0.0

Dreiecks-Helligkeit t^*



%Umfang
 $u^*_{rel} = 16$
%Regularität
 $g^*_{H,rel} = 34$
 $g^*_{C,rel} = 51$

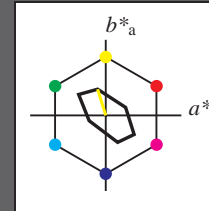
TLS70; adaptierte CIELAB-Daten					
	$L^*=L^*_a$	a^*_a	b^*_a	$C^*_{ab,a}$	$h^*_{ab,a}$
O _{Ma}	76.43	26.27	10.57	28.32	22
Y _{Ma}	93.93	-10.76	34.63	36.27	107
L _{Ma}	89.32	-35.8	27.64	45.24	142
C _{Ma}	90.93	-21.95	-7.07	23.07	198
V _{Ma}	72.1	15.76	-35.63	38.97	294
M _{Ma}	78.5	37.52	-25.23	45.22	326
N _{Ma}	69.7	0.0	0.0	0.0	0
W _{Ma}	95.41	0.0	0.0	0.0	0
R _{CIE}	39.92	58.74	27.99	65.07	25
J _{CIE}	81.26	-2.88	71.56	71.62	92
G _{CIE}	52.23	-42.41	13.6	44.55	162
B _{CIE}	30.57	1.41	-46.46	46.49	272

Ausgabe: Farbmétrisches Fernseh-Licht-System TLS70

für Buntton $h^* = lab^*h = 107/360 = 0.298$
 lab^*ich und lab^*nch

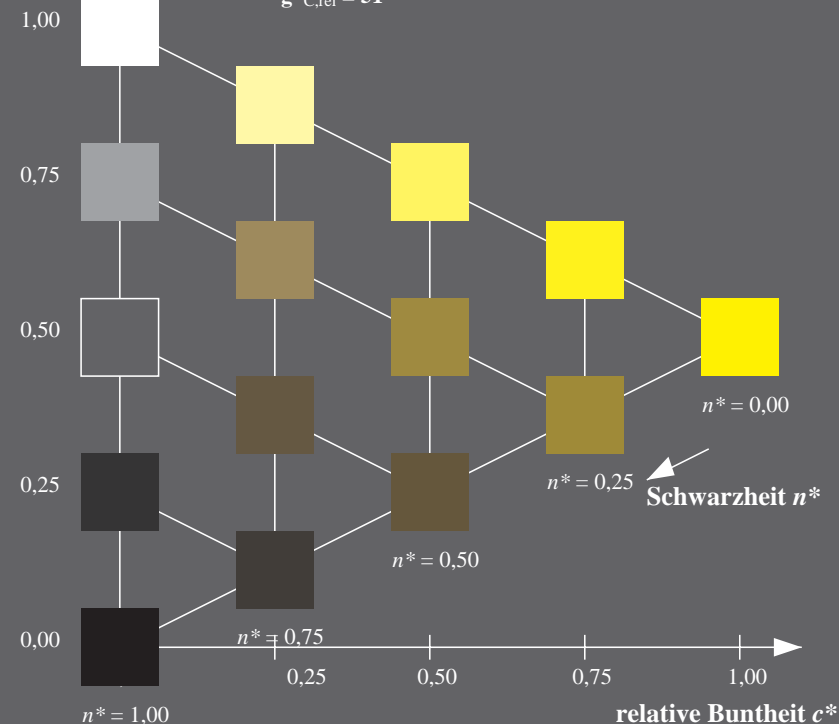
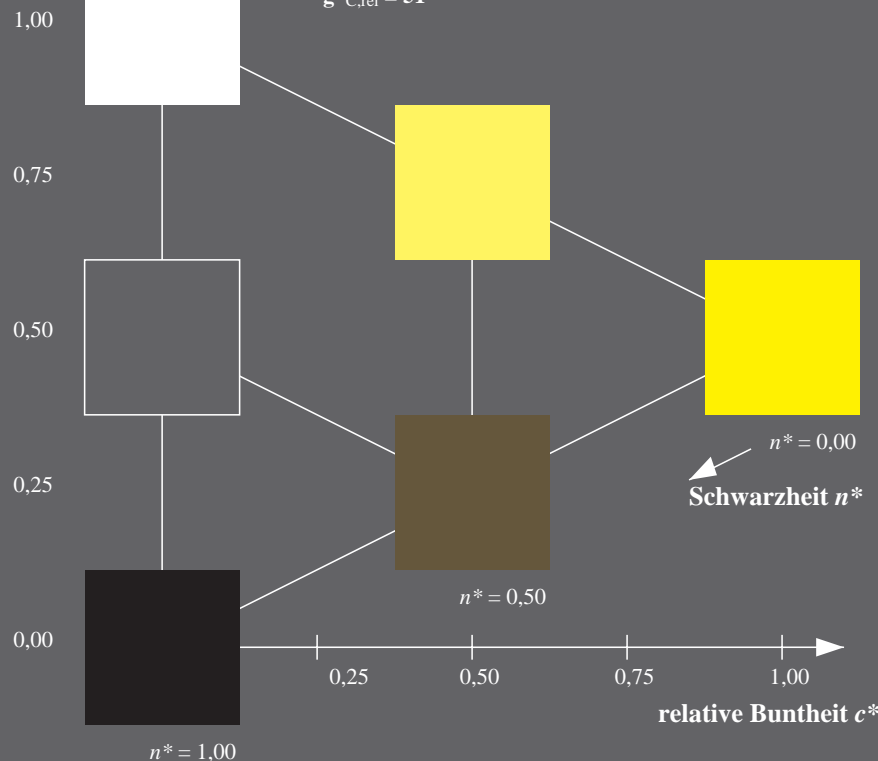
D65: Buntton Y
LCH*Ma: 94 36 107
olv*Ma: 1.0 1.0 0.0

Dreiecks-Helligkeit t^*



%Umfang
 $u^*_{rel} = 16$
%Regularität
 $g^*_{H,rel} = 34$
 $g^*_{C,rel} = 51$

TLS70; adaptierte CIELAB-Daten					
	$L^*=L^*_a$	a^*_a	b^*_a	$C^*_{ab,a}$	$h^*_{ab,a}$
O _{Ma}	76.43	26.27	10.57	28.32	22
Y _{Ma}	93.93	-10.76	34.63	36.27	107
L _{Ma}	89.32	-35.8	27.64	45.24	142
C _{Ma}	90.93	-21.95	-7.07	23.07	198
V _{Ma}	72.1	15.76	-35.63	38.97	294
M _{Ma}	78.5	37.52	-25.23	45.22	326
N _{Ma}	69.7	0.0	0.0	0.0	0
W _{Ma}	95.41	0.0	0.0	0.0	0
R _{CIE}	39.92	58.74	27.99	65.07	25
J _{CIE}	81.26	-2.88	71.56	71.62	92
G _{CIE}	52.23	-42.41	13.6	44.55	162
B _{CIE}	30.57	1.41	-46.46	46.49	272



OG690-7, 3stufige Reihen für konstanten CIELAB Buntton 107/360 = 0.298 (links)

5stufige Reihen für konstanten CIELAB Buntton 107/360 = 0.298 (rechts)

BAM-Prüfvorlage OG69; Farbmétrik-Systeme TLS70 & TLS70 input: $cmY0^* setcmykcolor$
D65: 3 und 5stufige Farbreihen für 10 Bunttöne

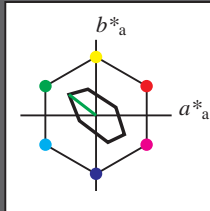
output: $cmY0^* / 000n^* setcmykcolor$

Eingabe: Farbmetrisches Fernseh-Licht-System TLS70

für Buntton $h^* = lab^*h = 142/360 = 0.395$
 lab^*ich und lab^*nch

D65: Buntton L
LCH*Ma: 89 45 142
olv*Ma: 0.0 1.0 0.0

Dreiecks-Helligkeit t^*



%Umfang
 $u^*_{rel} = 16$
%Regularität
 $g^*_{H,rel} = 34$
 $g^*_{C,rel} = 51$

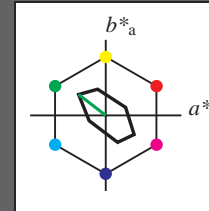
TLS70; adaptierte CIELAB-Daten					
	$L^*=L^*_a$	a^*_a	b^*_a	$C^*_{ab,a}$	$h^*_{ab,a}$
O _{Ma}	76.43	26.27	10.57	28.32	22
Y _{Ma}	93.93	-10.76	34.63	36.27	107
L _{Ma}	89.32	-35.8	27.64	45.24	142
C _{Ma}	90.93	-21.95	-7.07	23.07	198
V _{Ma}	72.1	15.76	-35.63	38.97	294
M _{Ma}	78.5	37.52	-25.23	45.22	326
N _{Ma}	69.7	0.0	0.0	0.0	0
W _{Ma}	95.41	0.0	0.0	0.0	0
R _{CIE}	39.92	58.74	27.99	65.07	25
J _{CIE}	81.26	-2.88	71.56	71.62	92
G _{CIE}	52.23	-42.41	13.6	44.55	162
B _{CIE}	30.57	1.41	-46.46	46.49	272

Ausgabe: Farbmetrisches Fernseh-Licht-System TLS70

für Buntton $h^* = lab^*h = 142/360 = 0.395$
 lab^*ich und lab^*nch

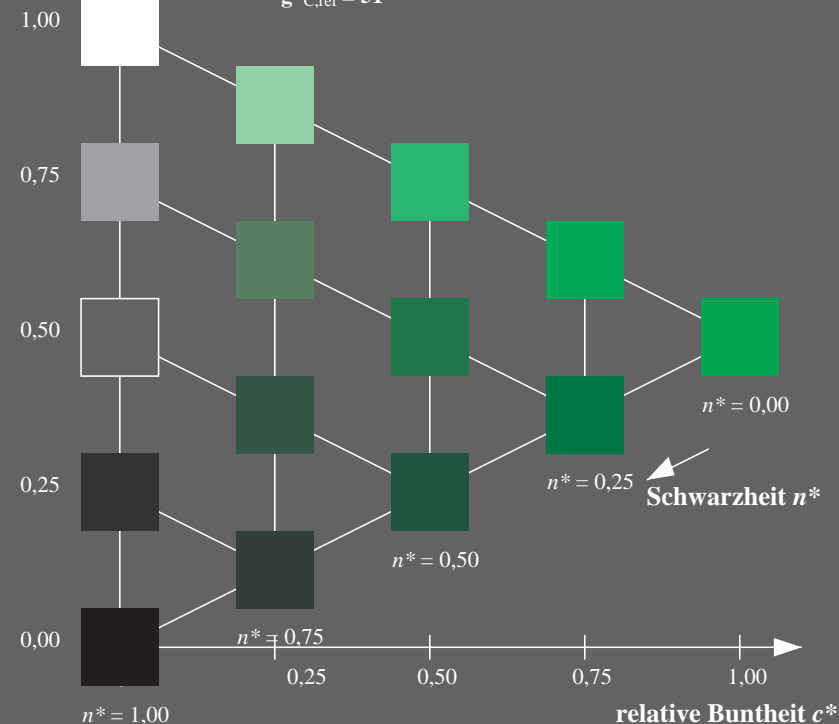
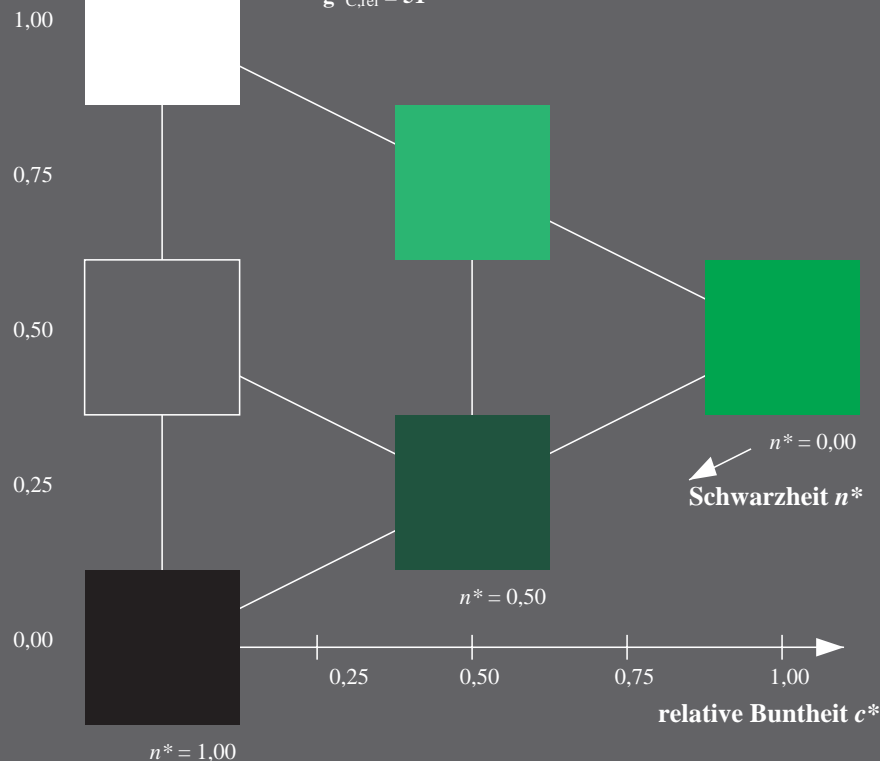
D65: Buntton L
LCH*Ma: 89 45 142
olv*Ma: 0.0 1.0 0.0

Dreiecks-Helligkeit t^*



%Umfang
 $u^*_{rel} = 16$
%Regularität
 $g^*_{H,rel} = 34$
 $g^*_{C,rel} = 51$

TLS70; adaptierte CIELAB-Daten					
	$L^*=L^*_a$	a^*_a	b^*_a	$C^*_{ab,a}$	$h^*_{ab,a}$
O _{Ma}	76.43	26.27	10.57	28.32	22
Y _{Ma}	93.93	-10.76	34.63	36.27	107
L _{Ma}	89.32	-35.8	27.64	45.24	142
C _{Ma}	90.93	-21.95	-7.07	23.07	198
V _{Ma}	72.1	15.76	-35.63	38.97	294
M _{Ma}	78.5	37.52	-25.23	45.22	326
N _{Ma}	69.7	0.0	0.0	0.0	0
W _{Ma}	95.41	0.0	0.0	0.0	0
R _{CIE}	39.92	58.74	27.99	65.07	25
J _{CIE}	81.26	-2.88	71.56	71.62	92
G _{CIE}	52.23	-42.41	13.6	44.55	162
B _{CIE}	30.57	1.41	-46.46	46.49	272



OG690-7, 3stufige Reihen für konstanten CIELAB Buntton 142/360 = 0.395 (links)

5stufige Reihen für konstanten CIELAB Buntton 142/360 = 0.395 (rechts)

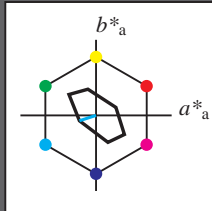
BAM-Prüfvorlage OG69; Farbmetrik-Systeme TLS70 & TLS70 input: $cmY0^* setcmykcolor$
D65: 3 und 5stufige Farbreihen für 10 Bunttöne output: $cmY0^* / 000n^* setcmykcolor$

Eingabe: Farbmetrisches Fernseh-Licht-System TLS70

für Buntton $h^* = lab^*h = 198/360 = 0.55$
 lab^*ich und lab^*nch

D65: Buntton C
LCH*Ma: 91 23 198
olv*Ma: 0.0 1.0 1.0

Dreiecks-Helligkeit t^*



%Umfang
 $u^*_{rel} = 16$
%Regularität
 $g^*_{H,rel} = 34$
 $g^*_{C,rel} = 51$

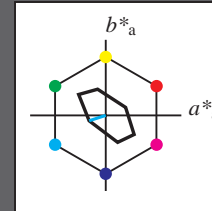
TLS70; adaptierte CIELAB-Daten					
	$L^*=L^*_a$	a^*_a	b^*_a	$C^*_{ab,a}$	$h^*_{ab,a}$
O _{Ma}	76.43	26.27	10.57	28.32	22
Y _{Ma}	93.93	-10.76	34.63	36.27	107
L _{Ma}	89.32	-35.8	27.64	45.24	142
C _{Ma}	90.93	-21.95	-7.07	23.07	198
V _{Ma}	72.1	15.76	-35.63	38.97	294
M _{Ma}	78.5	37.52	-25.23	45.22	326
N _{Ma}	69.7	0.0	0.0	0.0	0
W _{Ma}	95.41	0.0	0.0	0.0	0
R _{CIE}	39.92	58.74	27.99	65.07	25
J _{CIE}	81.26	-2.88	71.56	71.62	92
G _{CIE}	52.23	-42.41	13.6	44.55	162
B _{CIE}	30.57	1.41	-46.46	46.49	272

Ausgabe: Farbmetrisches Fernseh-Licht-System TLS70

für Buntton $h^* = lab^*h = 198/360 = 0.55$
 lab^*ich und lab^*nch

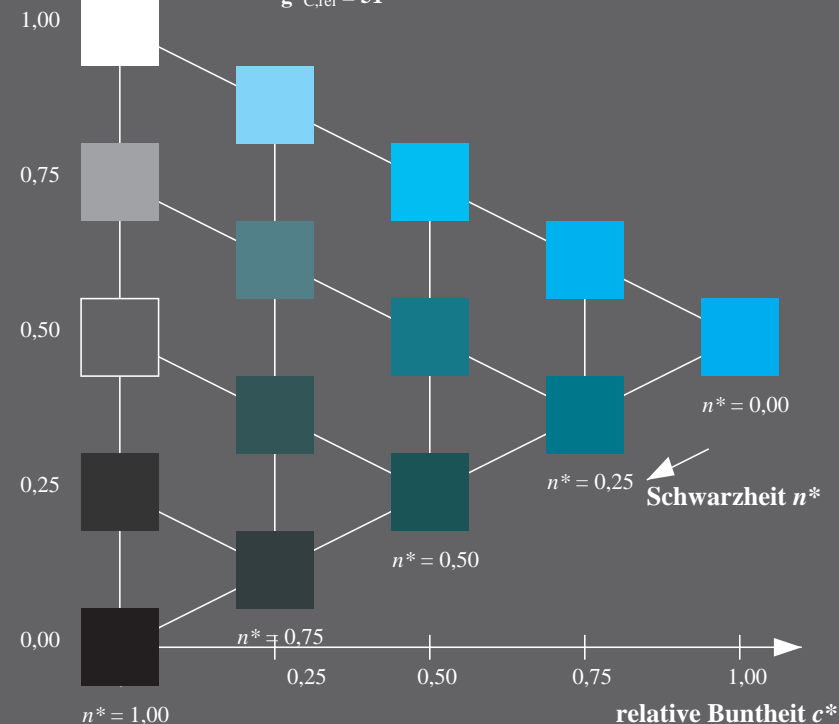
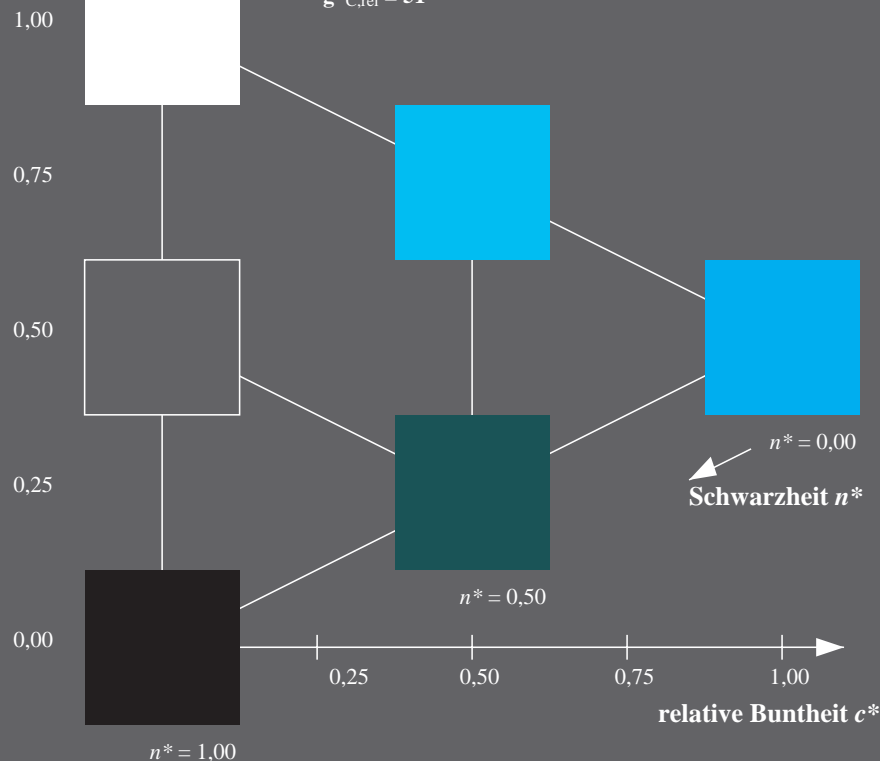
D65: Buntton C
LCH*Ma: 91 23 198
olv*Ma: 0.0 1.0 1.0

Dreiecks-Helligkeit t^*



%Umfang
 $u^*_{rel} = 16$
%Regularität
 $g^*_{H,rel} = 34$
 $g^*_{C,rel} = 51$

TLS70; adaptierte CIELAB-Daten					
	$L^*=L^*_a$	a^*_a	b^*_a	$C^*_{ab,a}$	$h^*_{ab,a}$
O _{Ma}	76.43	26.27	10.57	28.32	22
Y _{Ma}	93.93	-10.76	34.63	36.27	107
L _{Ma}	89.32	-35.8	27.64	45.24	142
C _{Ma}	90.93	-21.95	-7.07	23.07	198
V _{Ma}	72.1	15.76	-35.63	38.97	294
M _{Ma}	78.5	37.52	-25.23	45.22	326
N _{Ma}	69.7	0.0	0.0	0.0	0
W _{Ma}	95.41	0.0	0.0	0.0	0
R _{CIE}	39.92	58.74	27.99	65.07	25
J _{CIE}	81.26	-2.88	71.56	71.62	92
G _{CIE}	52.23	-42.41	13.6	44.55	162
B _{CIE}	30.57	1.41	-46.46	46.49	272



OG690-7, 3stufige Reihen für konstanten CIELAB Buntton 198/360 = 0.55 (links)

5stufige Reihen für konstanten CIELAB Buntton 198/360 = 0.55 (rechts)

BAM-Prüfvorlage OG69; Farbmetrik-Systeme TLS70 & TLS70 input: $cmY0^*setcmykcolor$
D65: 3 und 5stufige Farbreihen für 10 Bunttöne

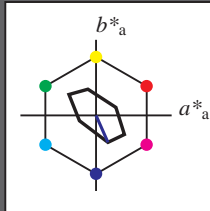
output: $cmY0^*/000n^*setcmykcolor$

Eingabe: Farbmatisches Fernseh-Licht-System TLS70

für Buntton $h^* = lab^*h = 294/360 = 0.816$
 lab^*ich und lab^*nch

D65: Buntton V
LCH*Ma: 72 39 294
olv*Ma: 0.0 0.0 1.0

Dreiecks-Helligkeit t^*



%Umfang
 $u^*_{rel} = 16$
%Regularität
 $g^*_{H,rel} = 34$
 $g^*_{C,rel} = 51$

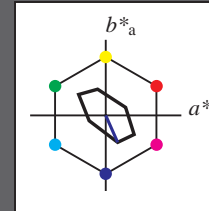
TLS70; adaptierte CIELAB-Daten					
	$L^*=L^*_a$	a^*_a	b^*_a	$C^*_{ab,a}$	$h^*_{ab,a}$
O _{Ma}	76.43	26.27	10.57	28.32	22
Y _{Ma}	93.93	-10.76	34.63	36.27	107
L _{Ma}	89.32	-35.8	27.64	45.24	142
C _{Ma}	90.93	-21.95	-7.07	23.07	198
V _{Ma}	72.1	15.76	-35.63	38.97	294
M _{Ma}	78.5	37.52	-25.23	45.22	326
N _{Ma}	69.7	0.0	0.0	0.0	0
W _{Ma}	95.41	0.0	0.0	0.0	0
R _{CIE}	39.92	58.74	27.99	65.07	25
J _{CIE}	81.26	-2.88	71.56	71.62	92
G _{CIE}	52.23	-42.41	13.6	44.55	162
B _{CIE}	30.57	1.41	-46.46	46.49	272

Ausgabe: Farbmatisches Fernseh-Licht-System TLS70

für Buntton $h^* = lab^*h = 294/360 = 0.816$
 lab^*ich und lab^*nch

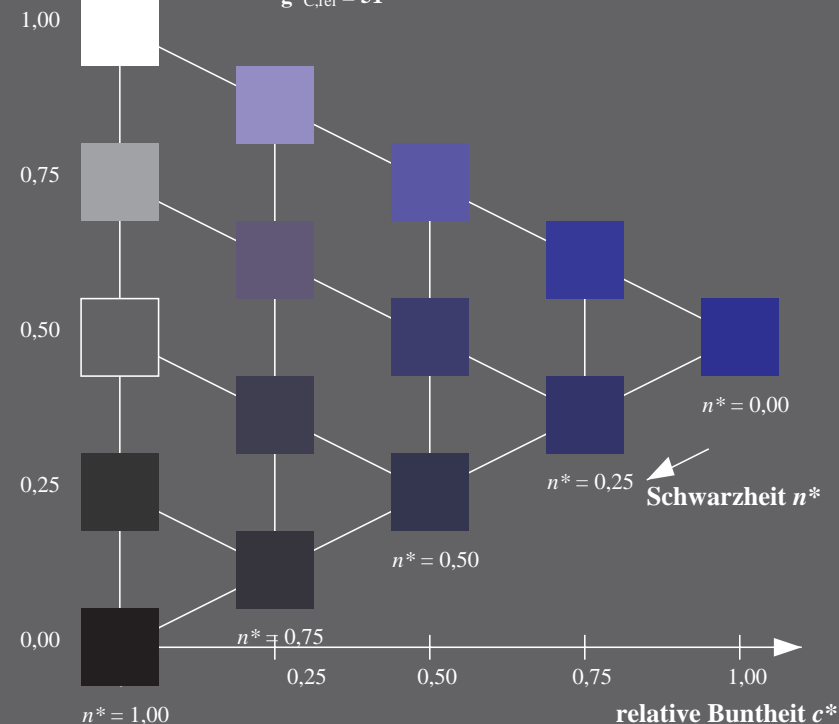
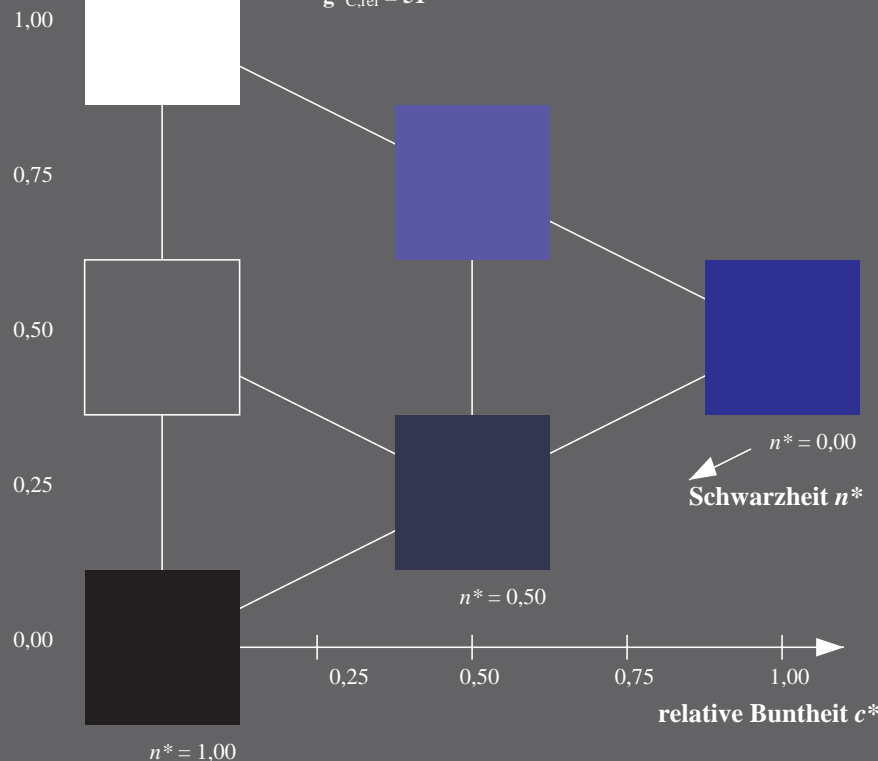
D65: Buntton V
LCH*Ma: 72 39 294
olv*Ma: 0.0 0.0 1.0

Dreiecks-Helligkeit t^*



%Umfang
 $u^*_{rel} = 16$
%Regularität
 $g^*_{H,rel} = 34$
 $g^*_{C,rel} = 51$

TLS70; adaptierte CIELAB-Daten					
	$L^*=L^*_a$	a^*_a	b^*_a	$C^*_{ab,a}$	$h^*_{ab,a}$
O _{Ma}	76.43	26.27	10.57	28.32	22
Y _{Ma}	93.93	-10.76	34.63	36.27	107
L _{Ma}	89.32	-35.8	27.64	45.24	142
C _{Ma}	90.93	-21.95	-7.07	23.07	198
V _{Ma}	72.1	15.76	-35.63	38.97	294
M _{Ma}	78.5	37.52	-25.23	45.22	326
N _{Ma}	69.7	0.0	0.0	0.0	0
W _{Ma}	95.41	0.0	0.0	0.0	0
R _{CIE}	39.92	58.74	27.99	65.07	25
J _{CIE}	81.26	-2.88	71.56	71.62	92
G _{CIE}	52.23	-42.41	13.6	44.55	162
B _{CIE}	30.57	1.41	-46.46	46.49	272



OG690-7, 3stufige Reihen für konstanten CIELAB Buntton 294/360 = 0.816 (links)

5stufige Reihen für konstanten CIELAB Buntton 294/360 = 0.816 (rechts)

BAM-Prüfvorlage OG69; Farbmatrik-Systeme TLS70 & TLS70 input: $cmY0^*setcmYcolor$
D65: 3 und 5stufige Farbreihen für 10 Bunttöne

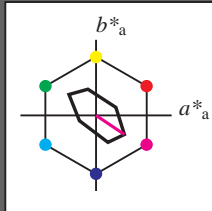
output: $cmY0^*/000n^*setcmYcolor$

Eingabe: Farbmetrisches Fernseh-Licht-System TLS70

für Buntton $h^* = lab^*h = 326/360 = 0.906$
 lab^*ich und lab^*nch

D65: Buntton M
LCH*Ma: 79 45 326
olv*Ma: 1.0 0.0 1.0

Dreiecks-Helligkeit t^*



%Umfang
 $u^*_{rel} = 16$
%Regularität
 $g^*_{H,rel} = 34$
 $g^*_{C,rel} = 51$

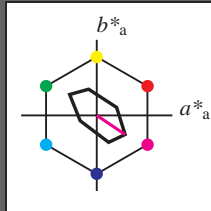
TLS70; adaptierte CIELAB-Daten					
$L^*=L^*_a$	a^*_a	b^*_a	$C^*_{ab,a}$	$h^*_{ab,a}$	
OMa 76.43	26.27	10.57	28.32	22	
YMa 93.93	-10.76	34.63	36.27	107	
LMa 89.32	-35.8	27.64	45.24	142	
CMa 90.93	-21.95	-7.07	23.07	198	
VMa 72.1	15.76	-35.63	38.97	294	
MMa 78.5	37.52	-25.23	45.22	326	
NMa 69.7	0.0	0.0	0.0	0	
WMa 95.41	0.0	0.0	0.0	0	
RCIE 39.92	58.74	27.99	65.07	25	
JCIE 81.26	-2.88	71.56	71.62	92	
GCIE 52.23	-42.41	13.6	44.55	162	
BCIE 30.57	1.41	-46.46	46.49	272	

Ausgabe: Farbmetrisches Fernseh-Licht-System TLS70

für Buntton $h^* = lab^*h = 326/360 = 0.906$
 lab^*ich und lab^*nch

D65: Buntton M
LCH*Ma: 79 45 326
olv*Ma: 1.0 0.0 1.0

Dreiecks-Helligkeit t^*



%Umfang
 $u^*_{rel} = 16$
%Regularität
 $g^*_{H,rel} = 34$
 $g^*_{C,rel} = 51$

TLS70; adaptierte CIELAB-Daten					
$L^*=L^*_a$	a^*_a	b^*_a	$C^*_{ab,a}$	$h^*_{ab,a}$	
OMa 76.43	26.27	10.57	28.32	22	
YMa 93.93	-10.76	34.63	36.27	107	
LMa 89.32	-35.8	27.64	45.24	142	
CMa 90.93	-21.95	-7.07	23.07	198	
VMa 72.1	15.76	-35.63	38.97	294	
MMa 78.5	37.52	-25.23	45.22	326	
NMa 69.7	0.0	0.0	0.0	0	
WMa 95.41	0.0	0.0	0.0	0	
RCIE 39.92	58.74	27.99	65.07	25	
JCIE 81.26	-2.88	71.56	71.62	92	
GCIE 52.23	-42.41	13.6	44.55	162	
BCIE 30.57	1.41	-46.46	46.49	272	

1,00

0,75

0,50

0,25

0,00

0,25

0,50

0,75

1,00

relative Buntheit c^*

$n^* = 1,00$

$n^* = 0,50$

$n^* = 0,00$

Schwarzheit n^*

1,00

0,75

0,50

0,25

0,00

0,25

0,50

0,75

1,00

relative Buntheit c^*

$n^* = 1,00$

$n^* = 0,75$

$n^* = 0,50$

$n^* = 0,25$

$n^* = 0,00$

Schwarzheit n^*

OG690-7, 3stufige Reihen für konstanten CIELAB Buntton 326/360 = 0.906 (links)

5stufige Reihen für konstanten CIELAB Buntton 326/360 = 0.906 (rechts)

BAM-Prüfvorlage OG69; Farbmetrik-Systeme TLS70 & TLS70 input: $cmY0^* setcmykcolor$

D65: 3 und 5stufige Farbreihen für 10 Bunttöne

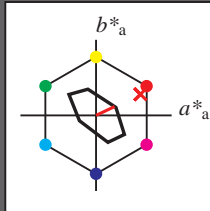
output: $cmY0^* / 000n^* setcmykcolor$

Eingabe: Farbmetrisches Fernseh-Licht-System TLS70

für Buntton $h^* = lab^*h = 25/360 = 0.071$
 lab^*ich und lab^*nch

D65: Buntton R
LCH*Ma: 77 27 25
olv*Ma: 1.0 0.05 0.0

Dreiecks-Helligkeit t^*



%Umfang
 $u^*_{rel} = 16$
%Regularität
 $g^*_{H,rel} = 34$
 $g^*_{C,rel} = 51$

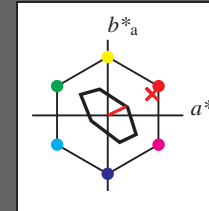
TLS70; adaptierte CIELAB-Daten					
	$L^*=L^*_a$	a^*_a	b^*_a	$C^*_{ab,a}$	$h^*_{ab,a}$
O _{Ma}	76.43	26.27	10.57	28.32	22
Y _{Ma}	93.93	-10.76	34.63	36.27	107
L _{Ma}	89.32	-35.8	27.64	45.24	142
C _{Ma}	90.93	-21.95	-7.07	23.07	198
V _{Ma}	72.1	15.76	-35.63	38.97	294
M _{Ma}	78.5	37.52	-25.23	45.22	326
N _{Ma}	69.7	0.0	0.0	0.0	0
W _{Ma}	95.41	0.0	0.0	0.0	0
R _{CIE}	39.92	58.74	27.99	65.07	25
J _{CIE}	81.26	-2.88	71.56	71.62	92
G _{CIE}	52.23	-42.41	13.6	44.55	162
B _{CIE}	30.57	1.41	-46.46	46.49	272

Ausgabe: Farbmetrisches Fernseh-Licht-System TLS70

für Buntton $h^* = lab^*h = 25/360 = 0.071$
 lab^*ich und lab^*nch

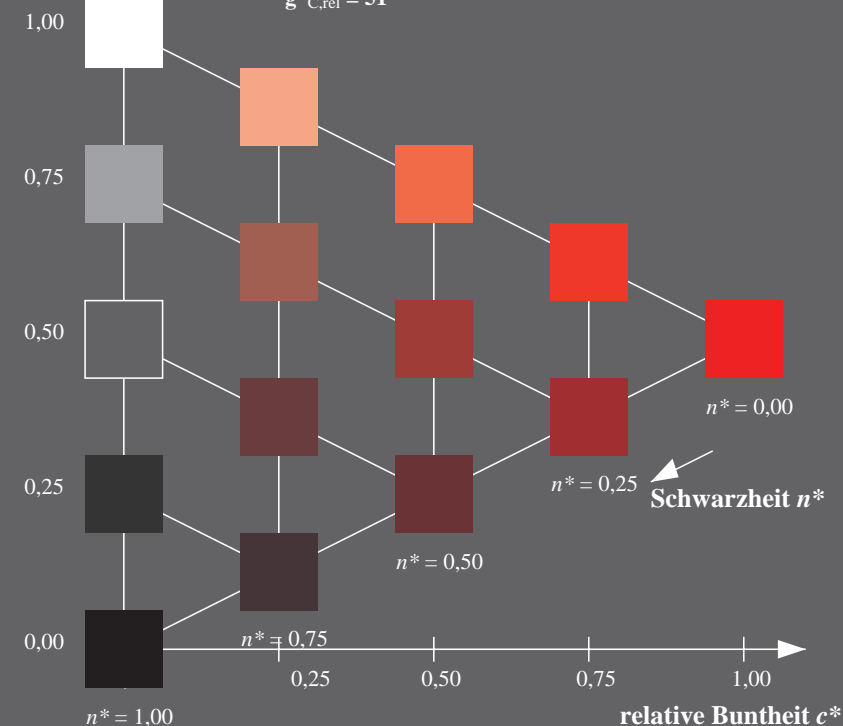
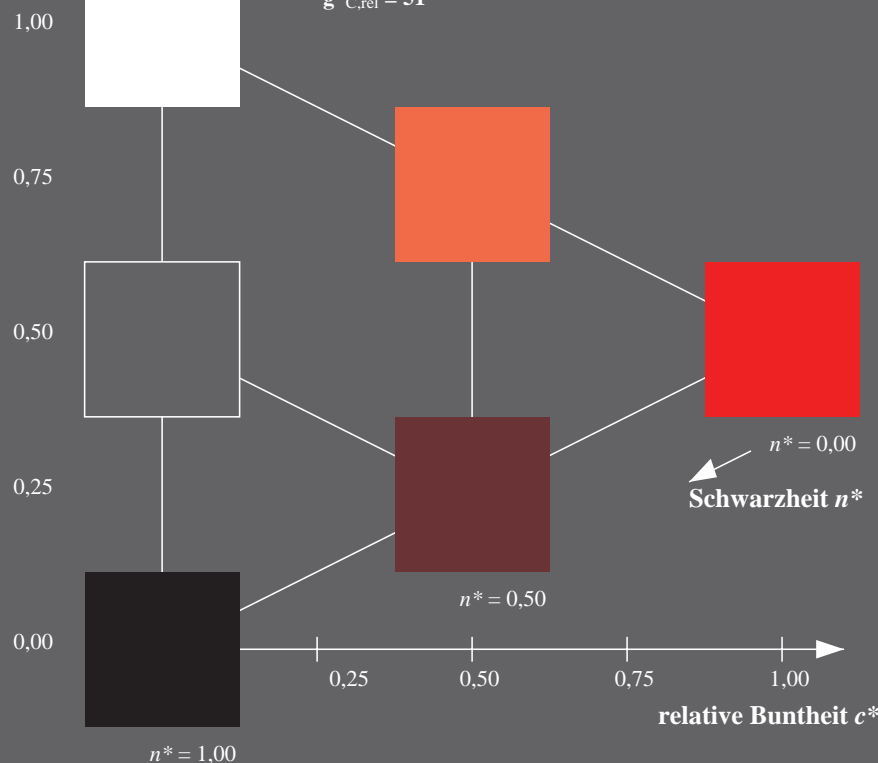
D65: Buntton R
LCH*Ma: 77 27 25
olv*Ma: 1.0 0.05 0.0

Dreiecks-Helligkeit t^*



%Umfang
 $u^*_{rel} = 16$
%Regularität
 $g^*_{H,rel} = 34$
 $g^*_{C,rel} = 51$

TLS70; adaptierte CIELAB-Daten					
	$L^*=L^*_a$	a^*_a	b^*_a	$C^*_{ab,a}$	$h^*_{ab,a}$
O _{Ma}	76.43	26.27	10.57	28.32	22
Y _{Ma}	93.93	-10.76	34.63	36.27	107
L _{Ma}	89.32	-35.8	27.64	45.24	142
C _{Ma}	90.93	-21.95	-7.07	23.07	198
V _{Ma}	72.1	15.76	-35.63	38.97	294
M _{Ma}	78.5	37.52	-25.23	45.22	326
N _{Ma}	69.7	0.0	0.0	0.0	0
W _{Ma}	95.41	0.0	0.0	0.0	0
R _{CIE}	39.92	58.74	27.99	65.07	25
J _{CIE}	81.26	-2.88	71.56	71.62	92
G _{CIE}	52.23	-42.41	13.6	44.55	162
B _{CIE}	30.57	1.41	-46.46	46.49	272



OG690-7, 3stufige Reihen für konstanten CIELAB Buntton 25/360 = 0.071 (links)

5stufige Reihen für konstanten CIELAB Buntton 25/360 = 0.071 (rechts)

BAM-Prüfvorlage OG69; Farbmetrik-Systeme TLS70 & TLS70 input: $cmY0^*setcmykcolor$
D65: 3 und 5stufige Farbreihen für 10 Bunttöne

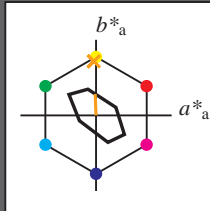
output: $cmY0^*/000n^*setcmykcolor$

Eingabe: Farbmétrisches Fernseh-Licht-System TLS70

für Buntton $h^* = lab^*h = 92/360 = 0.256$
 lab^*ich und lab^*nch

D65: Buntton J
LCH*Ma: 89 28 92
olv*Ma: 1.0 0.74 0.0

Dreiecks-Helligkeit t^*



%Umfang
 $u^*_{rel} = 16$
%Regularität
 $g^*_{H,rel} = 34$
 $g^*_{C,rel} = 51$

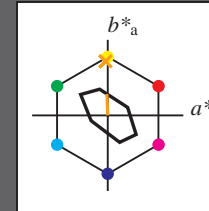
TLS70; adaptierte CIELAB-Daten					
	$L^*=L^*_a$	a^*_a	b^*_a	$C^*_{ab,a}$	$h^*_{ab,a}$
O _{Ma}	76.43	26.27	10.57	28.32	22
Y _{Ma}	93.93	-10.76	34.63	36.27	107
L _{Ma}	89.32	-35.8	27.64	45.24	142
C _{Ma}	90.93	-21.95	-7.07	23.07	198
V _{Ma}	72.1	15.76	-35.63	38.97	294
M _{Ma}	78.5	37.52	-25.23	45.22	326
N _{Ma}	69.7	0.0	0.0	0.0	0
W _{Ma}	95.41	0.0	0.0	0.0	0
R _{CIE}	39.92	58.74	27.99	65.07	25
J _{CIE}	81.26	-2.88	71.56	71.62	92
G _{CIE}	52.23	-42.41	13.6	44.55	162
B _{CIE}	30.57	1.41	-46.46	46.49	272

Ausgabe: Farbmétrisches Fernseh-Licht-System TLS70

für Buntton $h^* = lab^*h = 92/360 = 0.256$
 lab^*ich und lab^*nch

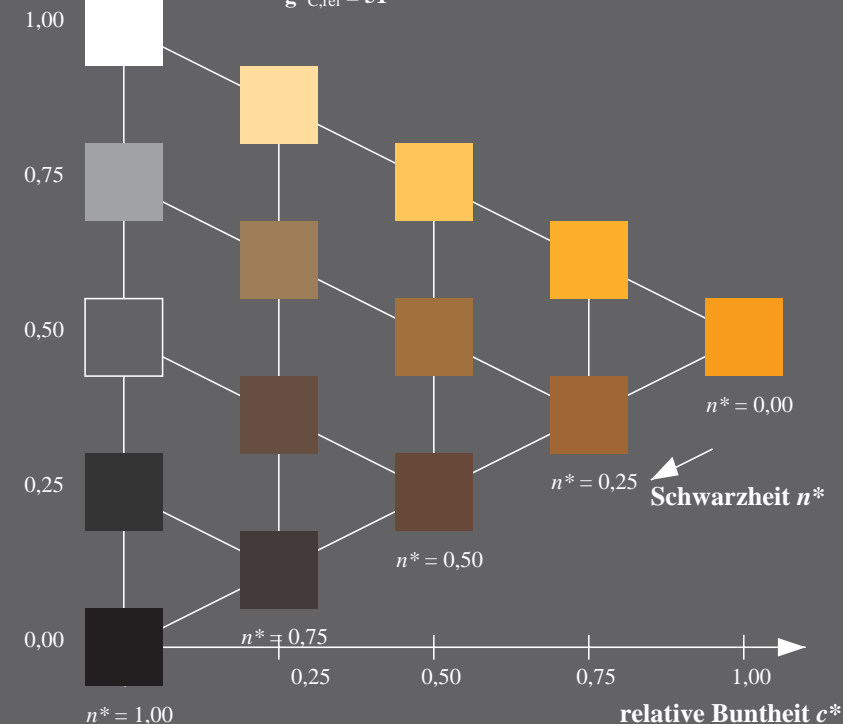
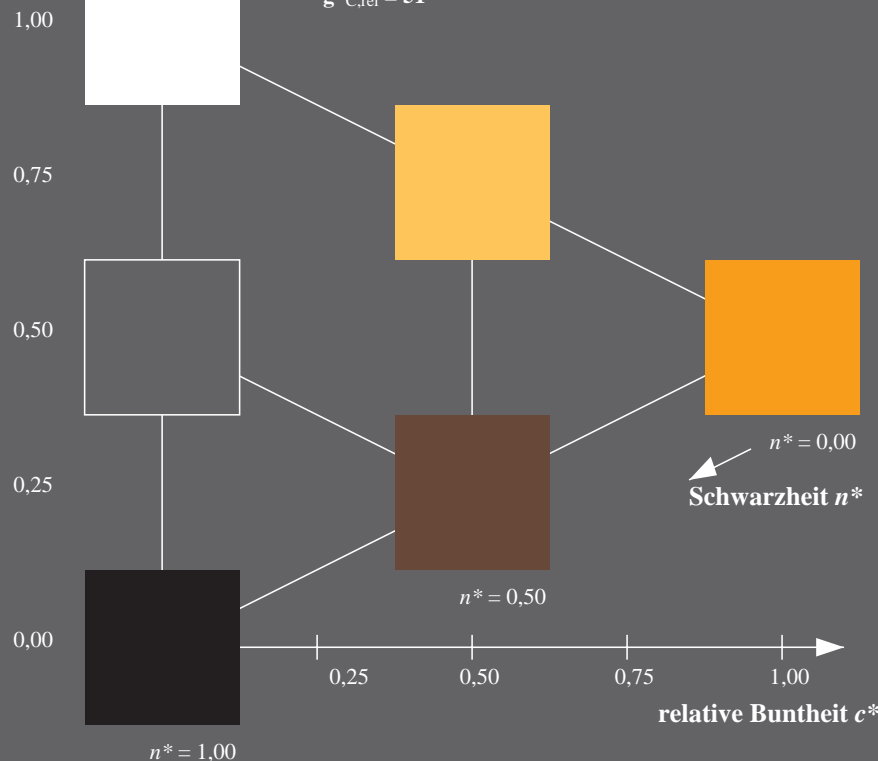
D65: Buntton J
LCH*Ma: 89 28 92
olv*Ma: 1.0 0.74 0.0

Dreiecks-Helligkeit t^*



%Umfang
 $u^*_{rel} = 16$
%Regularität
 $g^*_{H,rel} = 34$
 $g^*_{C,rel} = 51$

TLS70; adaptierte CIELAB-Daten					
	$L^*=L^*_a$	a^*_a	b^*_a	$C^*_{ab,a}$	$h^*_{ab,a}$
O _{Ma}	76.43	26.27	10.57	28.32	22
Y _{Ma}	93.93	-10.76	34.63	36.27	107
L _{Ma}	89.32	-35.8	27.64	45.24	142
C _{Ma}	90.93	-21.95	-7.07	23.07	198
V _{Ma}	72.1	15.76	-35.63	38.97	294
M _{Ma}	78.5	37.52	-25.23	45.22	326
N _{Ma}	69.7	0.0	0.0	0.0	0
W _{Ma}	95.41	0.0	0.0	0.0	0
R _{CIE}	39.92	58.74	27.99	65.07	25
J _{CIE}	81.26	-2.88	71.56	71.62	92
G _{CIE}	52.23	-42.41	13.6	44.55	162
B _{CIE}	30.57	1.41	-46.46	46.49	272



OG690-7, 3stufige Reihen für konstanten CIELAB Buntton 92/360 = 0.256 (links)

5stufige Reihen für konstanten CIELAB Buntton 92/360 = 0.256 (rechts)

BAM-Prüfvorlage OG69; Farbmétrik-Systeme TLS70 & TLS70 input: $cmY0^*setcmykcolor$
D65: 3 und 5stufige Farbreihen für 10 Bunttöne

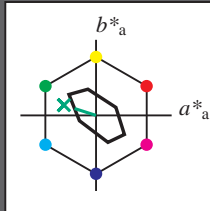
output: $cmY0^*/000n^*setcmykcolor$

Eingabe: Farbmétrisches Fernseh-Licht-System TLS70

für Buntton $h^* = lab^*h = 162/360 = 0.451$
 lab^*ich und lab^*nch

D65: Buntton G
LCH*Ma: 90 30 162
olv*Ma: 0.0 1.0 0.53

Dreiecks-Helligkeit t^*



%Umfang
 $u^*_{rel} = 16$
%Regularität
 $g^*_{H,rel} = 34$
 $g^*_{C,rel} = 51$

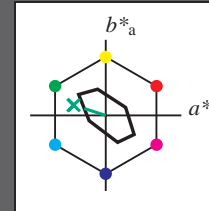
TLS70; adaptierte CIELAB-Daten					
	$L^*=L^*_a$	a^*_a	b^*_a	$C^*_{ab,a}$	$h^*_{ab,a}$
O _{Ma}	76.43	26.27	10.57	28.32	22
Y _{Ma}	93.93	-10.76	34.63	36.27	107
L _{Ma}	89.32	-35.8	27.64	45.24	142
C _{Ma}	90.93	-21.95	-7.07	23.07	198
V _{Ma}	72.1	15.76	-35.63	38.97	294
M _{Ma}	78.5	37.52	-25.23	45.22	326
N _{Ma}	69.7	0.0	0.0	0.0	0
W _{Ma}	95.41	0.0	0.0	0.0	0
R _{CIE}	39.92	58.74	27.99	65.07	25
J _{CIE}	81.26	-2.88	71.56	71.62	92
G _{CIE}	52.23	-42.41	13.6	44.55	162
B _{CIE}	30.57	1.41	-46.46	46.49	272

Ausgabe: Farbmétrisches Fernseh-Licht-System TLS70

für Buntton $h^* = lab^*h = 162/360 = 0.451$
 lab^*ich und lab^*nch

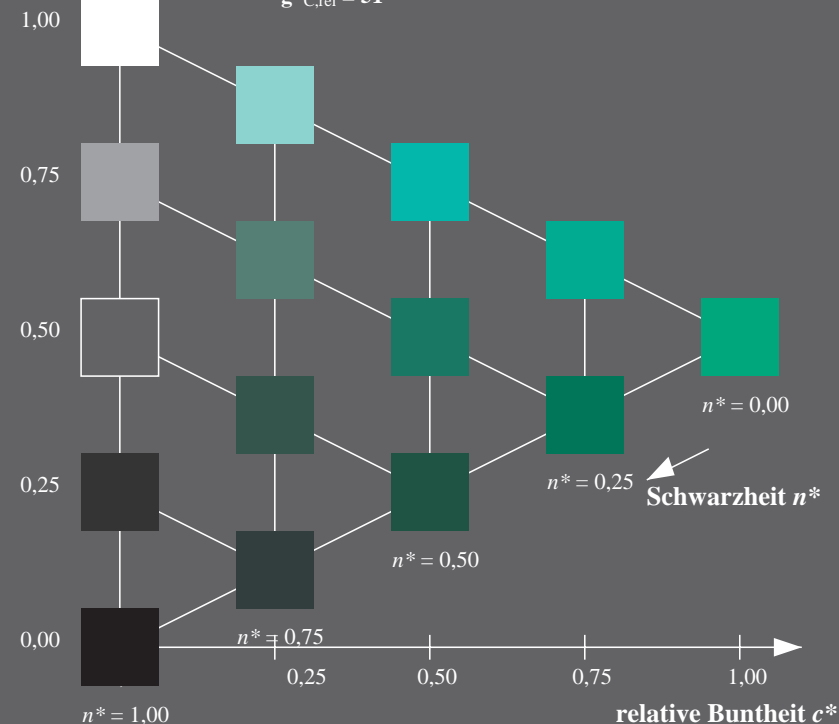
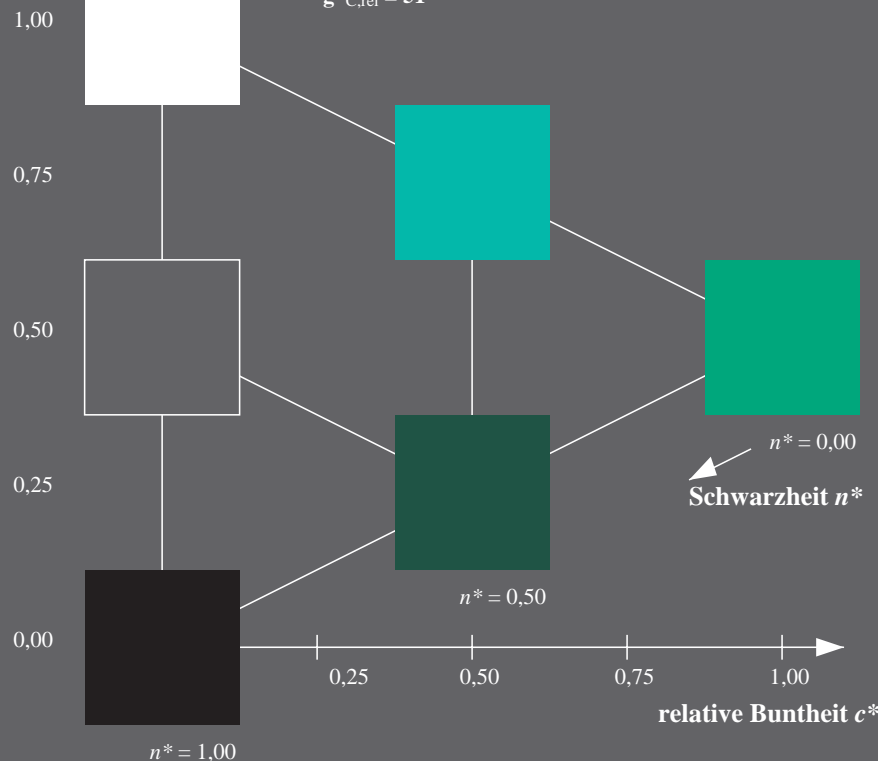
D65: Buntton G
LCH*Ma: 90 30 162
olv*Ma: 0.0 1.0 0.53

Dreiecks-Helligkeit t^*



%Umfang
 $u^*_{rel} = 16$
%Regularität
 $g^*_{H,rel} = 34$
 $g^*_{C,rel} = 51$

TLS70; adaptierte CIELAB-Daten					
	$L^*=L^*_a$	a^*_a	b^*_a	$C^*_{ab,a}$	$h^*_{ab,a}$
O _{Ma}	76.43	26.27	10.57	28.32	22
Y _{Ma}	93.93	-10.76	34.63	36.27	107
L _{Ma}	89.32	-35.8	27.64	45.24	142
C _{Ma}	90.93	-21.95	-7.07	23.07	198
V _{Ma}	72.1	15.76	-35.63	38.97	294
M _{Ma}	78.5	37.52	-25.23	45.22	326
N _{Ma}	69.7	0.0	0.0	0.0	0
W _{Ma}	95.41	0.0	0.0	0.0	0
R _{CIE}	39.92	58.74	27.99	65.07	25
J _{CIE}	81.26	-2.88	71.56	71.62	92
G _{CIE}	52.23	-42.41	13.6	44.55	162
B _{CIE}	30.57	1.41	-46.46	46.49	272



OG690-7, 3stufige Reihen für konstanten CIELAB Buntton 162/360 = 0.451 (links)

5stufige Reihen für konstanten CIELAB Buntton 162/360 = 0.451 (rechts)

BAM-Prüfvorlage OG69; Farbmétrik-Systeme TLS70 & TLS70 input: $cmY0^*setcmykcolor$
D65: 3 und 5stufige Farbreihen für 10 Bunttöne

output: $cmY0^*/000n^*setcmykcolor$

Eingabe: Farbmetrisches Fernseh-Licht-System TLS70

für Buntton $h^* = lab^*h = 272/360 = 0.755$

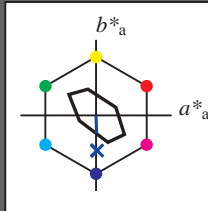
lab^*ich und lab^*nch

D65: Buntton B

LCH*Ma: 80 24 272

olv*Ma: 0.0 0.4 1.0

Dreiecks-Helligkeit t^*



%Umfang

$u^*_{rel} = 16$

%Regularität

$g^*_{H,rel} = 34$

$g^*_{C,rel} = 51$

TLS70; adaptierte CIELAB-Daten

	$L^*=L^*_a$	a^*_a	b^*_a	$C^*_{ab,a}$	$h^*_{ab,a}$
O _{Ma}	76.43	26.27	10.57	28.32	22
Y _{Ma}	93.93	-10.76	34.63	36.27	107
L _{Ma}	89.32	-35.8	27.64	45.24	142
C _{Ma}	90.93	-21.95	-7.07	23.07	198
V _{Ma}	72.1	15.76	-35.63	38.97	294
M _{Ma}	78.5	37.52	-25.23	45.22	326
N _{Ma}	69.7	0.0	0.0	0.0	0
W _{Ma}	95.41	0.0	0.0	0.0	0
R _{CIE}	39.92	58.74	27.99	65.07	25
J _{CIE}	81.26	-2.88	71.56	71.62	92
G _{CIE}	52.23	-42.41	13.6	44.55	162
B _{CIE}	30.57	1.41	-46.46	46.49	272

Ausgabe: Farbmetrisches Fernseh-Licht-System TLS70

für Buntton $h^* = lab^*h = 272/360 = 0.755$

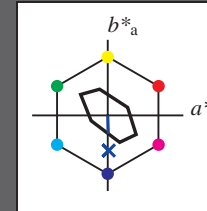
lab^*ich und lab^*nch

D65: Buntton B

LCH*Ma: 80 24 272

olv*Ma: 0.0 0.4 1.0

Dreiecks-Helligkeit t^*



%Umfang

$u^*_{rel} = 16$

%Regularität

$g^*_{H,rel} = 34$

$g^*_{C,rel} = 51$

TLS70; adaptierte CIELAB-Daten

	$L^*=L^*_a$	a^*_a	b^*_a	$C^*_{ab,a}$	$h^*_{ab,a}$
O _{Ma}	76.43	26.27	10.57	28.32	22
Y _{Ma}	93.93	-10.76	34.63	36.27	107
L _{Ma}	89.32	-35.8	27.64	45.24	142
C _{Ma}	90.93	-21.95	-7.07	23.07	198
V _{Ma}	72.1	15.76	-35.63	38.97	294
M _{Ma}	78.5	37.52	-25.23	45.22	326
N _{Ma}	69.7	0.0	0.0	0.0	0
W _{Ma}	95.41	0.0	0.0	0.0	0
R _{CIE}	39.92	58.74	27.99	65.07	25
J _{CIE}	81.26	-2.88	71.56	71.62	92
G _{CIE}	52.23	-42.41	13.6	44.55	162
B _{CIE}	30.57	1.41	-46.46	46.49	272

1,00

0,75

0,50

0,25

0,00

$n^* = 1,00$

0,25

$n^* = 0,50$

relative Buntheit c^*

$n^* = 0,00$

Schwarzheit n^*

1,00

0,75

0,50

0,25

0,00

$n^* = 1,00$

$n^* = 0,75$

$n^* = 0,50$

$n^* = 0,25$

$n^* = 0,00$

Schwarzheit n^*

relative Buntheit c^*

OG690-7, 3stufige Reihen für konstanten CIELAB Buntton 272/360 = 0.755 (links)

5stufige Reihen für konstanten CIELAB Buntton 272/360 = 0.755 (rechts)

BAM-Prüfvorlage OG69; Farbmetrik-Systeme TLS70 & TLS70 input: $cmY0^*setcmykcolor$

D65: 3 und 5stufige Farbreihen für 10 Bunttöne

output: $cmY0^*/000n^*setcmykcolor$